

О ВОЗМОЖНОСТИ ИЗУЧЕНИЯ НАРУШЕНИЯ СР-ИНВАРИАНТНОСТИ В РАСПАДАХ В-МЕЗОНОВ, ОБРАЗОВАННЫХ ФОТОНАМИ В НЕПОДВИЖНОЙ МИШЕНИ УНК

И.С. Байшев, А.Б. Говорков, Б.Б. Говорков

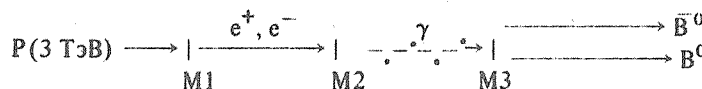
Показано, что фотогорождение пар бьюти-мезонов в неподвижной мишени УНК обеспечивает скорость образования частиц, достаточную для постановки экспериментов по проверке нарушения СР-инвариантности в распадах В-мезонов.

В рамках стандартной модели трех поколений в предположении унитарного смешивания夸克ов Кобаяши и Макава /1/ удалось сформулировать объяснение эффекта нарушения СР-инвариантности, который впервые наблюдался в распадах К-мезонов /2/. Ввиду важности вопроса о природе СР-нарушения для физики высоких энергий /3/ и космологии /4/ в последнее время резко возросло число работ с предложениями экспериментального изучения СР-нарушения в распадах В-мезонов /5/.

Для редких мод распада частицы (B^0) и античастицы (\bar{B}^0) в одно и тоже конечное состояние с определенной СР-четностью ($J/\psi K_s$, $D\bar{D}$, ...) модель Кобаяши – Макава предсказывает значения асимметрий 0,05–0,5. Экспериментальное установление таких значений, которые на несколько порядков превышают значение 10^{-3} , характерное для СР-нарушающих эффектов в распадах К-мезонов и предсказываемое большей частью теоретических объяснений эффекта /6–8/, послужило бы прямым подтверждением механизма Кобаяши – Макава СР-нарушения в распадах частиц.

Как показывают теоретические оценки /5/, для проведения измерений эффектов СР-нарушения необходимы источники со скоростью образования $\approx 10^8 B^0 \bar{B}^0$ -пар в год. В ряде научных центров разрабатываются проекты "бьюти-фабрик" – специализированных электрон-позитронных коллайдеров со светимостью $10^{34} \text{ см}^{-2} \cdot \text{с}^{-1}$ /9, 10/. В данной работе предлагается для изучения природы СР-нарушения использовать фотогорождение пар $B^0 \bar{B}^0$ в неподвижной мишени УНК.

Схема источника такова:



Протоны с энергией 3 ТэВ из ускорителя УНК в мишени M1 образуют π^0 -мезоны, которые за время $\tau_0 = 10^{-16}$ с умноженное на γ -фактор мезона распадаются на два фотона. Внутри этой же мишени фотоны конвертируются в $e^+ e^-$ -пары. С помощью специального магнито-оптического канала формируется пучок электронов (позитронов) с заданными характеристиками. В мишени M2 электроны порождают пучок тормозного излучения, который и служит для образования $B^0 \bar{B}^0$ -пар в мишени M3 экспериментальной установки.

Выход Y – число $B^0 \bar{B}^0$ -пар, образуемых в единицу времени, определяется выражением

$$Y = N \int_{E_n}^{E_0} \Pi_\gamma(E_\gamma, E_0) \sigma(\gamma N \rightarrow B^0 \bar{B}^0, E_\gamma) dE_\gamma,$$

где $\sigma(\gamma N \rightarrow B^0 \bar{B}^0, E_\gamma)$ – полное сечение фотогорождения $B^0 \bar{B}^0$ -пар на нуклоне; E_n – пороговая энергия фотогорождения пар ($E_n = 69, 84$ ГэВ); N – число нуклонов мишени на единицу площади; $\Pi(E_\gamma, E_0)$ – число γ -квантов с энергией E_γ , образуемое электроном с энергией E_0 в единицу времени в конверторе M2 толщиной t_R/X_0 (X_0 – радиационная единица M2):

$$\Pi_\gamma(E_\gamma, E_0) dE_\gamma = \Pi_e(E_0) (t_R/X_0) f(t_R/X_0, E_\gamma/E_0)/E_\gamma,$$

где $\Pi_e(E_0)$ – интенсивность пучка электронов с энергией E_0 , $f(t_R/X_0, E_\gamma/E_0)$ – функция, учитывающая отклонение формы спектра тормозного излучения от $1/E_\gamma$, которая принималась $\approx 0,7$.

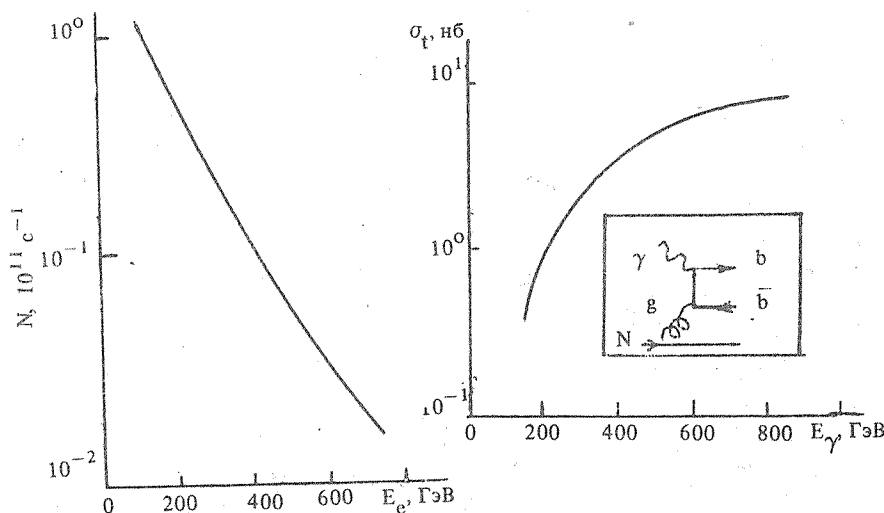


Рис. 1. Энергетическая зависимость интенсивности пучка электронов с энергией E_e из Ве-мишени (80 см) при облучении ее протонами с энергией 3 ТэВ и интенсивностью $5 \cdot 10^{13}$ Р/имп. Полный цикл ускорения составляет 120 с, длительность импульса интенсивности 40 с, эмиттанс пучка электронов 4 мм·мрад, $\Delta P_e/P_e = 0,3$.

Рис. 2. Энергетическая зависимость полного сечения фоторождения пар бьюти-кварков. На вставке – диаграмма фотон-глюонного слияния.

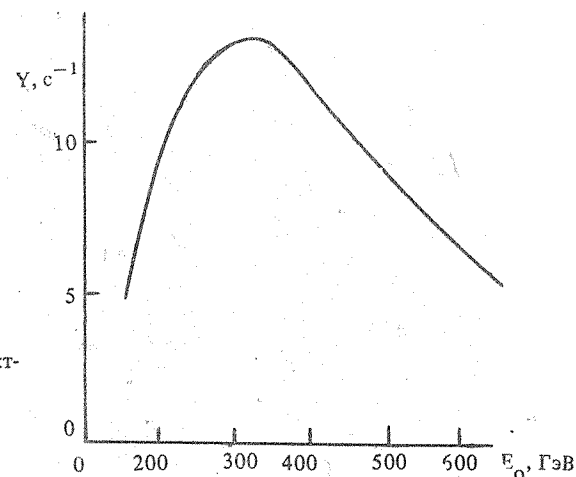


Рис. 3. Зависимость выхода пар бьюти-мезонов от энергии электронов, рассчитанная по модели фотон-глюонного слияния.

По программе "МАРС" [11], моделирующей развитие адронных и электромагнитных каскадов в веществе, рассчитывалась интенсивность пучка электронов из бериллиевой мишени (М1), толщиной 80 см, обраzuемого первичным пучком протонов с энергией 3 ТэВ.

На рис. 1 приведена интенсивность электронного пучка для нулевого угла вылета частиц из М1 в зависимости от энергии E_0 . Как видно, зависимость близка к экспоненциальному.

Полное сечение фоторождения боттом-кварков $\sigma(\gamma N \rightarrow b\bar{b})$ рассчитывалось по модели фотон-глюонного слияния, которая хорошо описывает энергетический ход и абсолютные значения сечений фоторождения пар чармированных кварков cc [12, 13]. Согласно этой модели (диаграмма на рис. 2)

$$\sigma(\gamma N \rightarrow Q\bar{Q} X) = 4\pi a_s(m_Q)(Q^2/m_Q^2) f(4m_Q^2/s_Q),$$

где s – квадрат энергии γN -системы в с.ц.м.; Q , m – заряд и масса кварка Q ; $a_s(m_Q)$ – константа связи глюона с парой $Q\bar{Q}$; $a = 1/137$; $f(4m_Q^2/s_Q)$ – функция, характеризующая распределение глюонов в ядре по импульсам. Показано [12], что функция $f(4m_Q^2/s_Q)$ зависит только от безразмерного параметра $\xi_Q = 4m_Q^2/s_Q$, так что, зная сечение для одного сорта кварков, например, $c\bar{c}$, можно рассчитать сечение для другого сорта $b\bar{b}$.

При равных значениях параметра ξ , $s_b = (m_b^2/m_c^2)s_c$ получаем:

$$\sigma(\gamma N \rightarrow b\bar{b} X, s_b) = \frac{a_s(m_b) Q_b^2 m_c^2}{a_s(m_c) Q_c^2 m_b^2} \sigma(\gamma N \rightarrow c\bar{c}, s_c) \approx 0,02 \sigma(\gamma N \rightarrow c\bar{c}, s_0).$$

Отметим, что с увеличением массы кварка уменьшается $a_s(m_Q)$ и сечение фоторождения приближается к сечению адренообразования, которое описывается в основном диаграммой слияния двух глюонов.

Рассчитанное сечение $\sigma(\gamma N \rightarrow b\bar{b})$ в зависимости от энергии γ -кванта приведено на рис. 2.

На рис. 3 приведен результат расчета выходов $B^0\bar{B}^0$ -пар мезонов при различных энергиях электронов. В расчете использовались потоки электронов из М1, приведенные на рис. 1, значение $t_R/X_0 = 0,33$ для М2, $N = 2,4 \cdot 10^{24} N/cm^2$ для М3 и сечения, приведенные на рис. 3. Наличие максимума в энергетической зависимости выхода $B^0\bar{B}^0$ -пар обусловлено спаданием с энергией E_0 спектра электронов (рис. 1) и нарастанием к некоторому предельному значению сечения фоторождения (рис. 2).

Таблица 1

Источники образования $B^0\bar{B}^0$ -пар /14, 15/

Источник	Энергия \sqrt{s} , ГэВ	Светимость $L, 1/cm^2\text{с}$	Сечение $\sigma_{\text{полн}}$	Скорость взаимодействия, Гц	Выход, $Y, 1/10^7\text{с}$
ТэВ II	45	$2 \cdot 10^{32}$	50 мб	10^7	10^8
ТэВ I	2000	10^{30}	100 мб	10^5	10^8
CESR (e^+e^-)	10,6	$5 \cdot 10^{31}$	5 нб	0,3	$7 \cdot 10^5$
LEP (e^+e^-)	92	10^{31}	30 нб	0,3	$4 \cdot 10^5$
CERN (e^+e^-) (быти-фабрика)	10,6	$10^{33} - 10^{34}$	5 нб	6–60	$10^7 - 10^8$
УНК (γ)	≈ 25	10^{34}	120 мкб	10^6	10^8

В табл. 1 приведены выходы различных источников $B^0\bar{B}^0$ -пар /14, 15/, предложенных для исследования СР-нарушения в распадах частиц. Отметим, что только при энергии УНК (3 ТэВ) процессы фоторождения становятся конкурентоспособными с адренообразованием быти-частиц.

Авторы благодарны С.Б. Герасимову, А.А. Комару, С.И. Никольскому, Н.В. Мохову, С.С. Герштейну, А.К. Лиходеду, С.Р. Слабоспицкому, Г.А. Соколу, В.Г. Раевскому и Т. Нэшу из лаборатории им. Ферми за полезные обсуждения и замечания.

ЛИТЕРАТУРА

1. Kobayashi M., Maskawa T. Prog. Theor. Phys., 49, 652 (1973).
2. Christenson J. H., et al. Phys. Rev. Lett., 13, 138 (1964).